

MISION DE NUESTRA SEÑORA DE LA CANDELARIA

Ruth Adela Ponjade*

1. INTRODUCCIÓN

Esta disertación da a conocer el estado de avance de investigaciones que se están desarrollando en la Reducción de Nuestra Señora de la Candelaria (MCM1).

2. HISTORIA DE INVESTIGACIÓN

El conocimiento a través de las noticias Históricas qu en la zona afectada por Yacyretá en Misiones (RA), sobre la costa paranaense comprendida entre los arroyos Garupá y San Juan (Municipio de Candelaria, Dpto. del mismo nombre), podrían aparecer restos de los asentamientos de las Reducciones de Nuestra Señora de la Candelaria y de San Cosme y San Damián, nos llevaron a intensificar nuestras prospecciones en esa área donde detectamos tres sitios perturbados por acción natural (avances y retrocesos del río) y por depredación antrópica (quita de sedimentos para fabricación de ladrillos y para relleno de caminos), en los que se evidenciaban contactos indígenaeuropeo.

La imposibilidad de suspender el Rescate Arqueológico Yacyretá, del cual soy responsable, y la importancia de efectuar trabajos en la Reducción, nos movieron a la decisión que con mi apoyatura uno de nosotros, Lic. BEATRIZ ROVIRA, en el marco del Rescate, por lo tanto con los recursos económicos del mismo y con la anuencia de la Entidad Binacional Yacyretá, se responsabilizara de manera exclusiva de los estudios en el núcleo del último asentamiento de Nuestra Señora de la Candelaria (MCM1), mientras paralelamente, continuábamos con el relevamiento exhaustivo de la zona costera, que probablemente pudiera vincularse con la Misión, donde prospectamos:

2.1. 10.600m de la margen del R. Paraná, comprendida entre los arroyos Garupá (Igá Rupá), y San Juan (Aguapeí), a partir de su lecho y hasta la cota 85.

2.2. 1.300m de la margen derecha del arroyo Garupá, a partir de su desembocadura en el R. Paraná, desde el lecho del arroyo hasta la cota 85 (recorrido aproximado de 16 Has.).

2.3. 800m ambas márgenes del A. Niño Perdido, a partir de su desembocadura en al Paraná y entre su lecho y la cota 100 (recorrido aproximado 4 Has.).

2.4. 800m ambas márgenes del A. Anselmo, a partir de su desembocadura en el R. Paraná y entre su lecho y la cota 85.

2.5. 1.500m ambas márgenes del A. San Juan, a partir de su desembocadura y entre su lecho y la cota 87 (Aproximadamente 4 Has.).

El relevamiento arrojó los siguientes datos:

2.6. Tres talleres líticos con materiales de tradición Humaytá – Alto-paranaense. MCSJ1. MCSJ2. MCSJ3. (croquis 1).

2.7. Un sitio agroalfarero muy perturbado con materiales de tradición TupíGuaraní MCG2. (croquis 2).

2.8. Tres sitios con evidencias de contacto indígena-europeo. Tiestos de manufactura y decoración de tradición TupíGuaraní y formas europeas, asociadas a cerámicas de tradición TupíGuaraní, y material lítico trabajado por percusión (MCPto1, MCPto2 y MCPto3). En MCPto1 dichos materiales estaban en asociación directa con clavos y tejas de época jesuítica.

2.9. Un sitio del momento de ocupación jesuítica, donde detectamos sillares semejantes a los de la Reducción de Nuestra Señora de la Candelaria (según tradición oral en este sitio estaba un molino de maíz, contemporáneo con el período jesuítico, los bloques fueron re-utilizados y algunos vestigios como el molejón integran colecciones privadas de la Localidad de Candelaria (croquis 2).

3. UBICACION GEOGRÁFICA, TOPOGRÁFICA, CATASTRAL, Y LEGAL DEL NUCLEO DE LA REDUCCIÓN DE NUESTRA SEÑORA DE LA CANDELARIA (1665-1768). MCM1

Situación Geográfica: 27°27' Lat. S. 55°45' Long. W. G. Situación Topográfica: entre cotas 105 y 115. Situación Catastral: Dpto. y pueblo de

Candelaria. Lote agrícola 10 Fr. "a". Quintas 7-8, limita al N con el R. Paraná, al S con la ruta nacional Nº 12, al E con la localidad de Candelaria y al W con la U 17 de Institutos Penales. Situación, legal: tierra correspondiente a Institutos Penales U 17, Región Misiones, Monumento perteneciente a Comisión Nacional de Museos Monumentos y Lugares Históricos. (Fig. 1: Plano de Doblas, verificado por Maggi sobre el que se marcaron sondeos).

4. INFORMACIÓN HISTORICA

Esta Reducción fue fundada en el Tape en 1627, donde se denominaba Nuestra Señora de la Candelaria del Ibicuy. Trasladada a las inmediaciones del sitio donde hoy subsisten sus relictos en 1637-38 y a partir de 1665 ocupó el lugar que identificamos como MCM1 (Misiones, Candelaria Misión de Nuestra Señora de la Candelaria sitio 1).

A partir de esa fecha se convirtió en Centro Administrativo de las Misiones del Paraná y en residencia del Provincial de la Compañía de Jesús, hasta el momento de la expulsión de los jesuitas 1768.

Con posterioridad a esa fecha, se inició su decadencia, que culminó alrededor de 1815 con el incendio provocado por las tropas de GASPARD RODRIGUEZ DE FRANCIA.

La zona donde se encuentran sus ruinas (propiedad de Institutos Penales), fue librada al pública a partir de 1984.

5. INVENTARIO

El sector de las ruinas existentes es el N W, que corresponde a la Administración (Planta Alta) y almacenes y depósitos (Planta Baja), a los que se suman columnas de galería que unía este edificio con los talleres. (Inventario realizado por Arq. MARY GONZALEZ DE HADDAD). (Fig. 1).

6. INVESTIGACIÓN ARQUEOLÓGICA

6.1. Objetivos

6.1.1. Obtener datos para el ajuste y perfeccionamiento de la secuencia cronológica en la Arqueología de Misiones.

6.1.2. Efectuar un muestreo de materiales de diferentes áreas funcionales del sitio, con la finalidad de determinar contextos y procesos de cambio socio-cultural.

6.2. Metodología y Técnicas

Se efectuaron sondeos que permitieron un muestreo superficial de materiales arqueológicos en el núcleo de la reducción (fig. 1).

Los factores que condicionaron los puntos a excavar, fueron en términos generales:

6.2.1. Existencia de información Histórica acerca de la finalidad del área durante el período de ocupación jesuítica y con posterioridad a la misma.

6.2.2. Autorización de los propietarios de los solares (en que se realizaron las calas).

6.2.3 Indicadores superficiales de la existencia de materiales arqueológicos.

6.3. Descripción de Sondeos

Se excavaron en el año 1987: 4 cuadrículas de 2x2m y una de 2x1 y en 1988, 2 de 2x2.

6.3.1. Sondeos 1 y 3: Sector de viviendas indígenas: se halló un estrato fértil (superficial), cuyo espesor oscilaba entre 0,10m y 0,30m (tabla 1, fig. 2, perfil S. de sondeo 1 y fig. 3 perfil S. de sondeo 3).

6.3.2. Sondeos 2 y 5. Sector de cotiguazú: sondeo 2: se llevó a cabo en un solar privado en la esquina de las calles Córdoba y Jorge Newbery.

Allí se presentó una notable concentración de Tiestos en superficie. El estrato fértil fue de 0,20m a partir de él apareció un sedimento silíceo arcilloso estéril. Sondeo 5 (post-jesuítico): se abrió en un extenso basural que se manifiesta claramente en los cortes que resultaron del trazado de las actuales calles del pueblo: Jorge Newbery entre Córdoba y aviador Candelaria. Por razones de tiempo solo se excavaron cuatro niveles artificiales de 0,15 cada uno, sin haber llegado al final de la ocupación, razón por la cual planificamos la campaña que se cumplió en marzo del corriente año, en el transcurso de la cual se excavaron las cuadrículas adyacentes hasta llegar al sedimento estéril (tabla 1).

6.3.3. Sondeo 4. Sector Depósito: Lo efectuamos en el recinto más occidental de las ruinas existentes. Deberá complementarse con un sondeo de iguales dimensiones (2m x 1m), al N del muro.

Excavamos estratos artificiales de 0,20 cada uno de un relleno muy flojo hasta alcanzar el nivel del piso, directamente sobre sedimento estéril. (tabla 1, fig. 4 – perfil W de sondeo 4).

6.3.4. Los sondeos 6 y 7 (adyacentes al 5), tuvieron como finalidad continuar con el muestreo del depósito post-jesuítico iniciado en 1987.

Ambos se profundizaron hasta llegar al sedimento estéril, mediante técnica de estratigrafía artificial, definiéndose estratos de 20cm.

Aspectos Estratigráficos:

a) En ambos sondeos a una profundidad que osciló entre los 0,30 y 0,50m aproximadamente se halló una capa de sedimento húmico cuyo espesor fue de 20 a 30 cm (fig. 5 — perfil N sondeo 6, fig. 6 — perfil S de sondeo 7).

b) *Los 2 estratos fértiles:* se hallaron por encima y por debajo del mencionado sedimento húmico.

Aproximadamente a 1m de profundidad e inmediatamente sobre el terreno natural se registró *un nivel de ocupación*, evidenciado por las siguientes estructuras.

b.a) En sondeos 6, un piso de ripio y arena (fig. 5 — perfil N sondeo 6).

b.b) En sondeo 7, un fogón en el cual se hallaron algunos huesos carbonizados y fragmentos de cerámica (fig. 6: perfil S. sondeo 7).

Para agilizar las tareas de campo no se recuperaron huesos ni tejas, de los que se cuenta con una muestra abundante de la cala 5. Sin embargo se prestó atención a los restos faunísticos con el fin de detectar la presencia de restos que pudiesen pertenecer a otra especie que no sea *Bos-taurus*; única presente en el sondeo 5. Se hallaron 3 piezas dentarias aún sin identificar, tentativamente ubicables como pertenecientes a cabra u oveja (sondeo 6).

6.4. Registro Artefactual

Hemos recuperados tejas, cerámicas, huesos, ladrillos, piedras, clavos, cuentas de vidrios, vidrios. En esta etapa de trabajo la muestra cerámica y los restos faunísticos han recibido mayor atención solo en razón del tiempo disponible y no a la importancia asignada (tablas 1 a 9).

6.5. Caracterización tentativa de la muestra

6.5.1. Conjunto Cerámico: Se clasificó en base a la técnica de manufactura (rodete o torneado) y al tratamiento de la superficie (cepillado con engobe rojo, etc.) resultando los siguientes tipos: Hispano-indígena — cepillada, Hispano-indígena roja, Hispano-indígena unguicular, Hispano-indígena corrugada, Hispano-indígena mamelonar, Hispano-indígena lisa, torneada biscocho, torneada vidriada y Misiones lisa (gráficos 1 a 6, tablas 2 a 9).

Esta nomenclatura es *provisoria* y está sujeta a cambios, con posterioridad a una revisión, con el objeto de adecuarla a las propuestas por otros especialistas de la Región, respetando denominaciones publicadas previamente, en el caso de hallarnos ante tipos similares a los que aparecen en el NE Argentino, SE de Brasil y Paraguay.

6.5.2. *Restos Faunísticos*: En los sondeos 1 a 4, no hay una cantidad apreciable de restos faunísticos. En tanto que el sondeo 5 dió como resultado una muestra considerable de restos que en su totalidad pertenecen a ganado vacuno (*Bos taurus*). En su análisis efectuamos las siguientes determinaciones:

a) Identificación de elementos óseos (tabla 10).

b) Cálculo de número de individuos tomando en cuenta estado de fusión de las epífisis, posibilidad de ensamblar elementos y tamaño de los elementos. En su estimación se tomó como base el número de pares de un hueso determinado más los elementos que no se hallaron apareados ya sea derechos o izquierdos (Krantz 68: 286). (tabla 11).

c) Estimación de la edad de los restos: tomando en consideración estado de fusión de la epífisis (tabla 2), y desgaste dentario (gráfico 7).

d) Estimación de la proporción de las diferentes partes de la carcasa (gráfico 8).

7. CONSIDERACIONES GENERALES

7.1. El sondeo 5 es un depósito de potencial riqueza explicativa.

7.1.1. Se trata de un basural ejemplo típico de depósito secundario sin perturbaciones.

7.1.2. No presenta estratigrafía, criterio importante para postular un período de formación breve.

7.1.3. De acuerdo con su localización topográfica en el seno de la antigua Misión, establecida a partir de sus relaciones con estructuras existentes y con la ayuda de planos históricos acerca de la configuración arquitectónica de estos asentamientos, inferimos que no es contemporáneo con la ocupación jesuítica, sino posterior.

7.1.4 Representa actividades de subsistencia poco especializadas, como resultado del análisis de los restos faunísticos, lo que permitirá extraer conclusiones referentes a las conductas culturales que lo originaron.

7.2. La muestra de los sondeos 6 y 7 que totalizan 1485 tiestos permite efectuar las siguientes observaciones generales:

7.2.1. Se visualizan 2 ocupaciones, una pre-jesuítica y otra contemporánea y posterior.

7.2.2. El cepillado manifiesta una tendencia a reducir su frecuencia hacia los estratos, profundos (gráfico 8).

7.2.3. La cerámica con engobe rojo aumenta su popularidad en la misma dirección indicada en 7.2.2. (gráfico 8).

7.2.4. En los niveles estrigráficos 7IV y 7V el corrugado prácticamente iguala y supera en popularidad a la cerámica con engobe rojo (gráfico 8).

7.3. La escasa representación que tienen en el conjunto cerámico los tipos de origen comercial, es un elemento para tenerse en cuenta como indicador de integración del territorio a los mercados globales.

8. CORRELACIONES Y APRECIACIONES DE ÍNDOLE CRONOLÓGICA

8.1. La zona ocupada por la Reducción de Nuestra Sra. de la Candelaria (1665-1768), anteriormente estuvo poblada por agroalfareros de tradición TupíGuaraní.

8.2. Los diferentes sondeos no son contemporáneos.

8.3. En el núcleo de Nuestra Sra. de la Candelaria (MCM1), los conjuntos artefactuales recuperados son demostrativos de la continuidad de la tradición TupíGuaraní a través del período jesuítico y con posterioridad al mismo.

8.4. Los tiestos recuperados en la Misión y los rescatados en los sitios costeros: MCPto1, MCPto2, MCPto3, están relacionados y en algunas ocasiones tienen afinidades con tipos anteriormente descritos como es el caso del Hispano-indígena cepillado con Ijuí escobado (BROCHADO, LASSAROTO y STEINMETZ, 1969) y con Itatí cepillado (NUÑEZ REGUEIRO y NUÑEZ REGUEIRO DE LORENZI, 1973), fechado por estos autores "terminus post quo" en 1606 y "Antequem" en 1826.

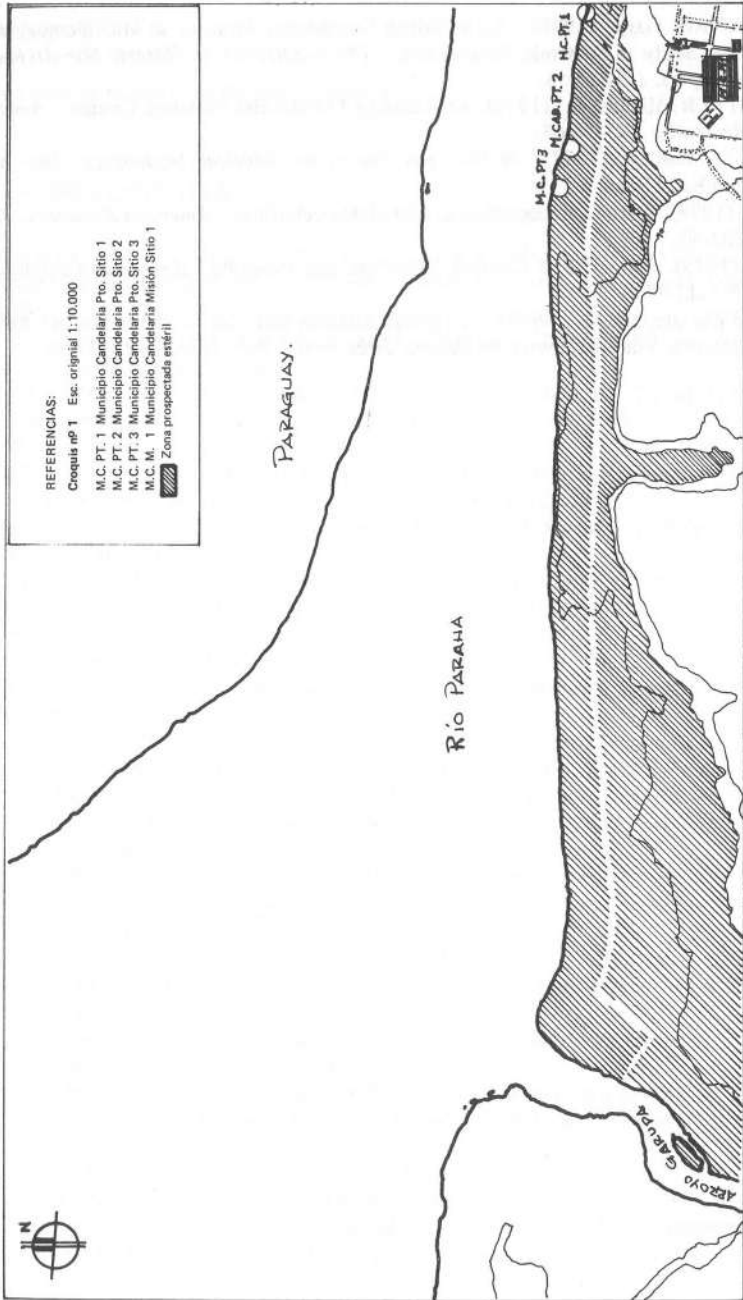
NOTA

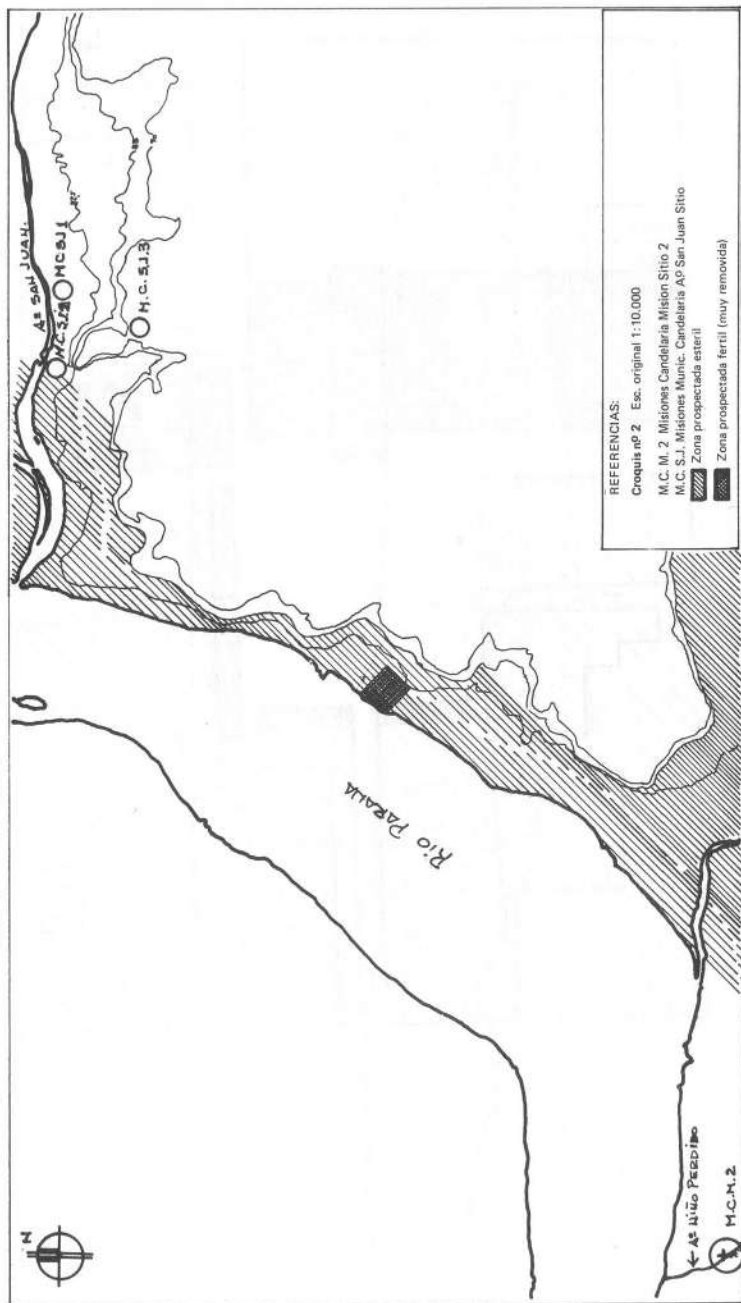
* Universidade Nacional de Misiones (Argentina).

9. BIBLIOGRAFIA

- BROCHADO, José P. y otros (1969). A cerâmica das missões orientais do Uruguai. Um estudo de aculturação indígena a través da mudança na cerâmica. *Pesquisa*, 20: 169-210.
- BRUXEL, Arnaldo (1984). *Los treinta pueblos Guaraníes. Panorama histórico-institucional*. Ed. Montaya, Posadas
- CLELAND, Charles y FITTING, James (1968). The Crisis in Identity: Theory in Historic Sites Archaeology. *The Conference on Historic Sites Archaeology Papers*, 2(2): 124-38.
- GOODYEAR, Albert C. et al. (1978). The Status of Archaeological Research Design in Cultural Resource Management. *American Antiquity*, 43(2): 159-173.
- FURLONG, Guillermo S.J. (1962). *Misiones y sus pueblos de Guaraníes*. Buenos Aires. Talleres Imprenta Balmes.
- GRANT, Annie (1982). The use of tooth wear as a guide to the age of domestic ungulates. *Ageing and Sexing Animal Bones from Archaeological Sites*. ed. por Wilson, Bob; Caroline Grigson y Sebastian Payne. *BAR British Series 109*: 91-108.
- KRANTZ, Grover S. (1968). A New Method of Counting Mammal Bones. *American Journal of Anthropology*, 72: 286-8.
- MAGGI, Gustavo Adolfo (1984). Estado actual de los Conjuntos Jesuíticos en Misiones, 1981 - Dirección General de Cultura de la Provincia de Misiones y UNaM.
- MENTZ RIBEIRO, Pedro Augusto (1981). O TupíGuaraní no vale do Rio Pardo e a Redução Jesuítica de Jesús María. *Revista do CEPA*. Facultad de Filosofía, Ciências e Letras, 10. Santa Cruz do Sul. RS.
- MEGGERS, Betty y EVANS, Clifford (1969). *Cómo interpretar el lenguaje de los tios-tos*. Manual para arqueólogos. Trad. Víctor A. Nuñez Regueiro. Smithsonian Institution. Washington D.C..
- NUÑEZ REGUEIRO, Victor y NUÑEZ REGUEIRO DE LORENZI, Beatriz (1973). Arqueología histórica del Norte de la Provincia de Corrientes. *Revista del Instituto de Antropología*, IV. Universidad de Córdoba.
- ORSER, Charles E. (1978). Ethnohistory, Analogy, and Historical Archaeology. *The Conference on Historic Site Archaeology Papers*, 13: 1-24.
- POUJADE, Ruth Adela (1987). Programa de Relevamiento Rescate e Investigación Cultural y Natural de Zonas afectadas por EBY en Misiones (RA): Primer informe de Avance. Vol. I, 49p. Vol. II, 84p. (Inédito).
- (1988). Primer Informe de Avance. 21 p. (Inédito).
- (1988). Segundo Informe de Avance. 33 p. (Inédito).
- PRICE, Cynthia (1985) Patterns of Cultural Behaviour and Intra-Site Distribution of Faunal Remains al Widow Harris Site. *Historical Archaeology*, 19(2): 40-56.

- SCHAPIRO, Gary (1978). Early British Subsistence Strategy at Michilimackinac, A Case Study in Systemic Particularism. *The Conference on Historic Site Archaeology Papers*, 13: 315-56.
- SCHIFFER, Michael B. (1972). Archaeology Context and Systemic Context. *American Antiquity*, 37: 156-65.
- SOUTH, Stanley (1977). *Method and Theory in Historical Arqueology*. New York, Academic Press.
- (1978). Pattern Recognition in Historical Archaeology. *American Antiquity*, 43(2): 223-30.
- (1979). Historic Site Content, Structure and Function. *American Antiquity*, 44 (2): 213-37.
- WARFEL, Stephen G. (1979). A Critical Analysis and Test of Stanly South's Artifact Patterns. *The Conference on Historic Sites Archaeology Papers*, 14: 137-90.





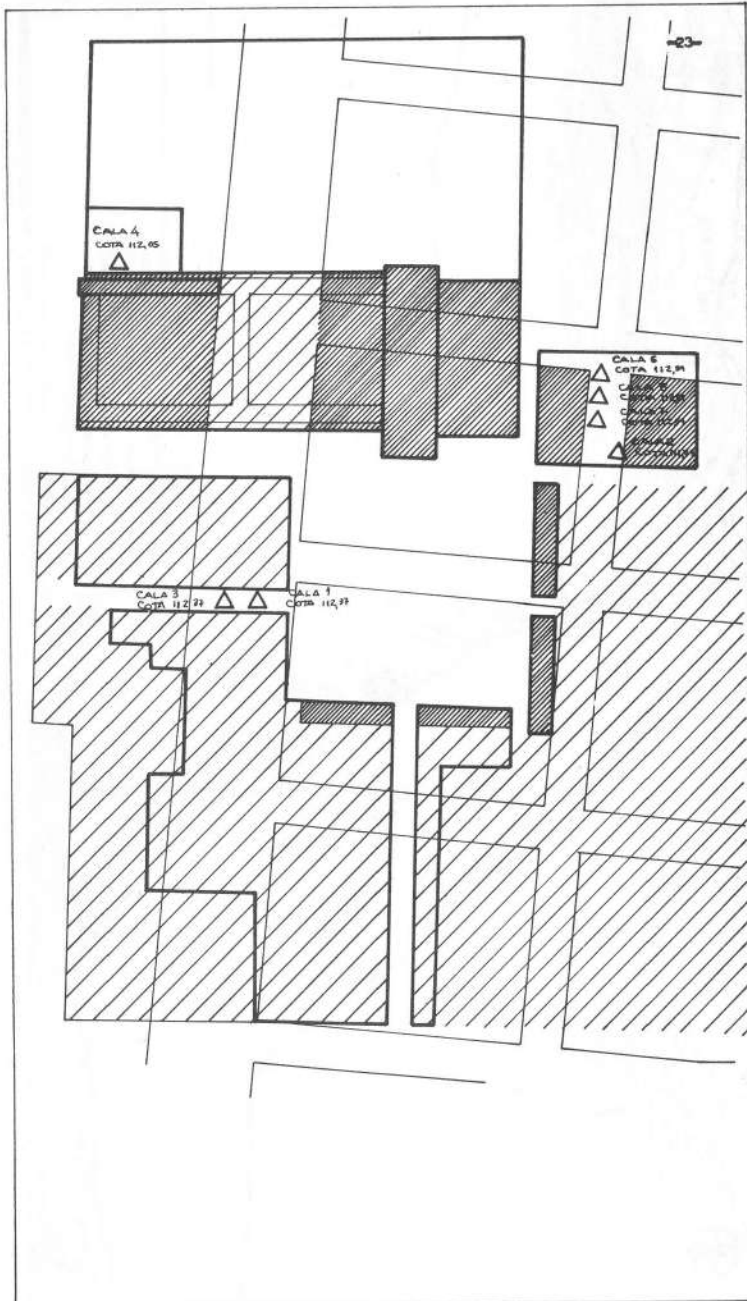


Figura 1 - Plano de DOBLAS, verificado por MAGGI: Indicación de sondeos.

Cota 112,37

Cala 1 — Perfil Sur

Misiones — Candelaria (Misión)

SITIO 1

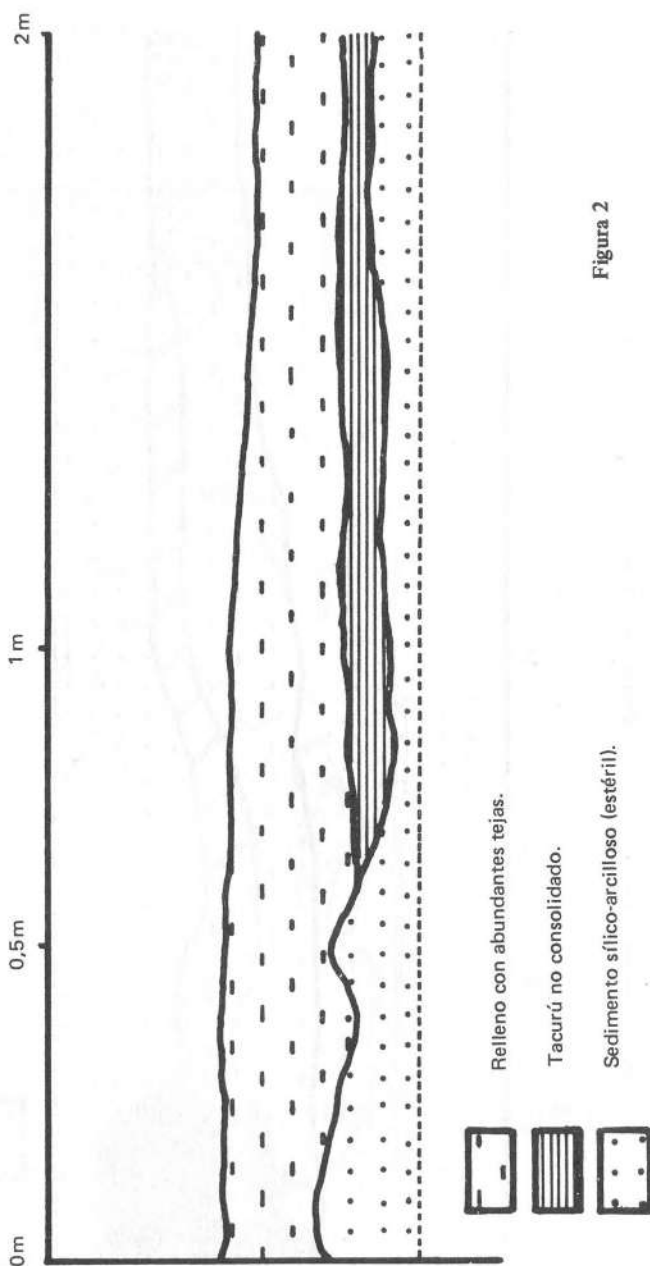


Figura 2

Misiones — Candelaria (Misión) Cala 3 — Perfil Sur Cota 112,19

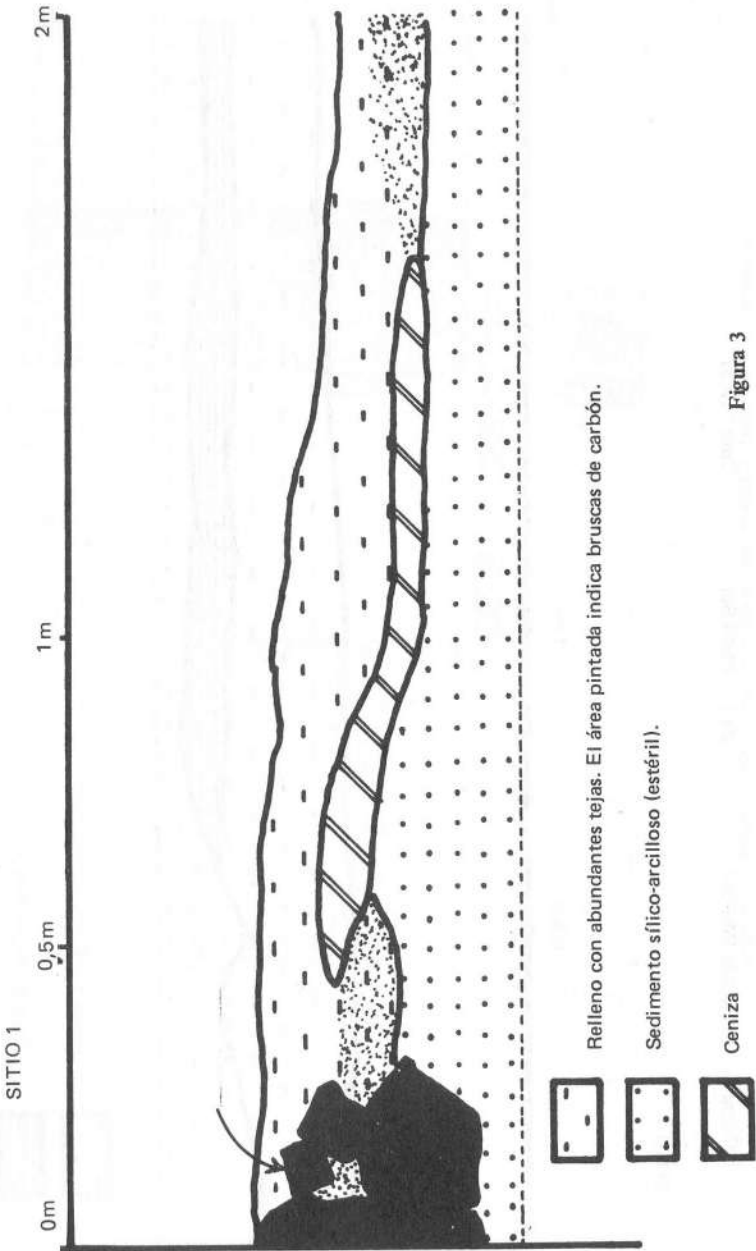


Figura 3

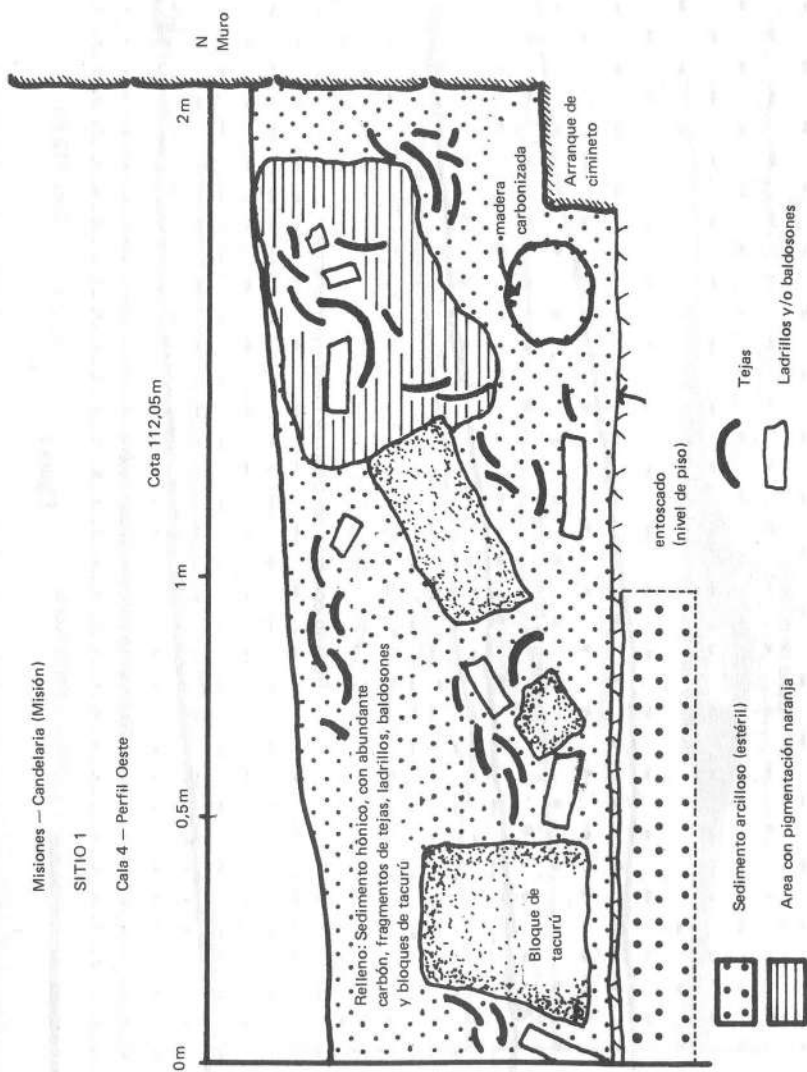
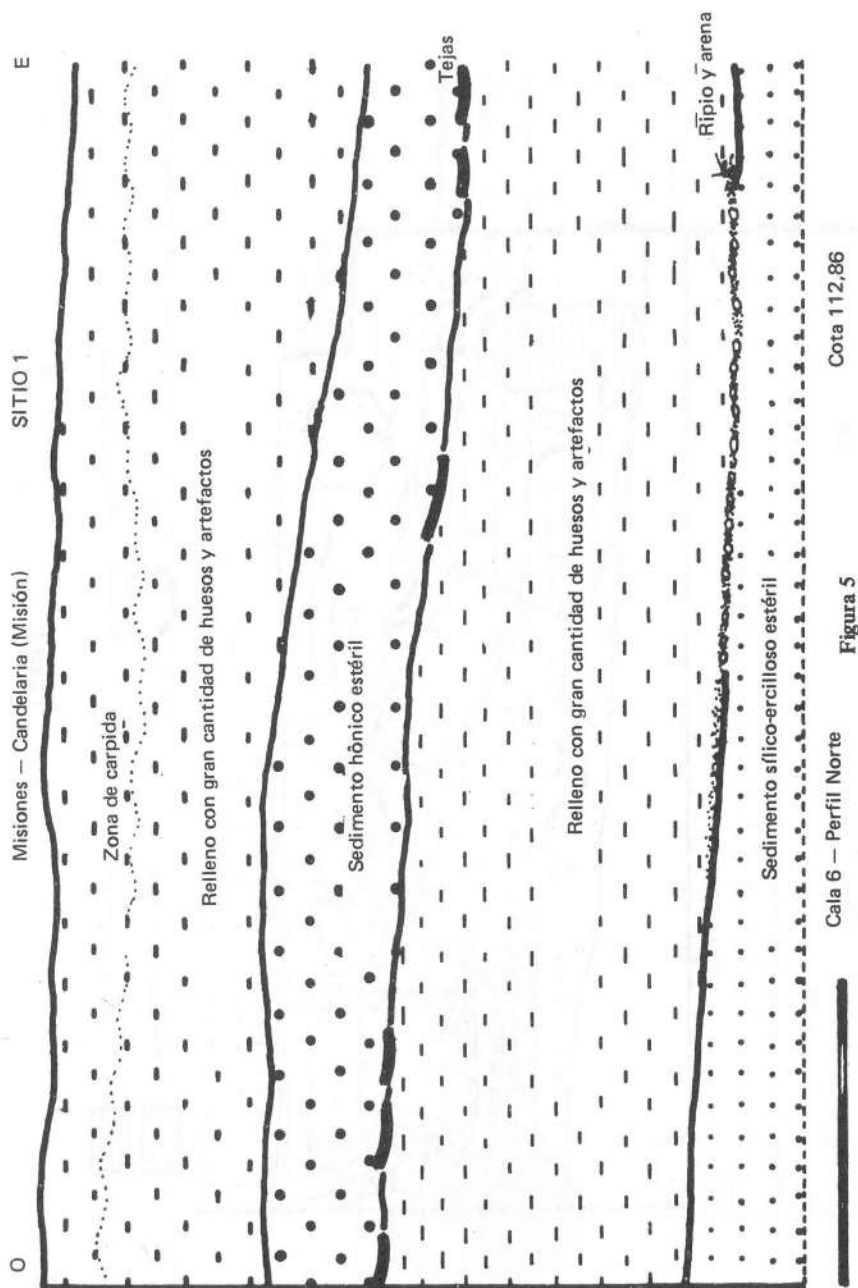


Figura 4

SITIO 1



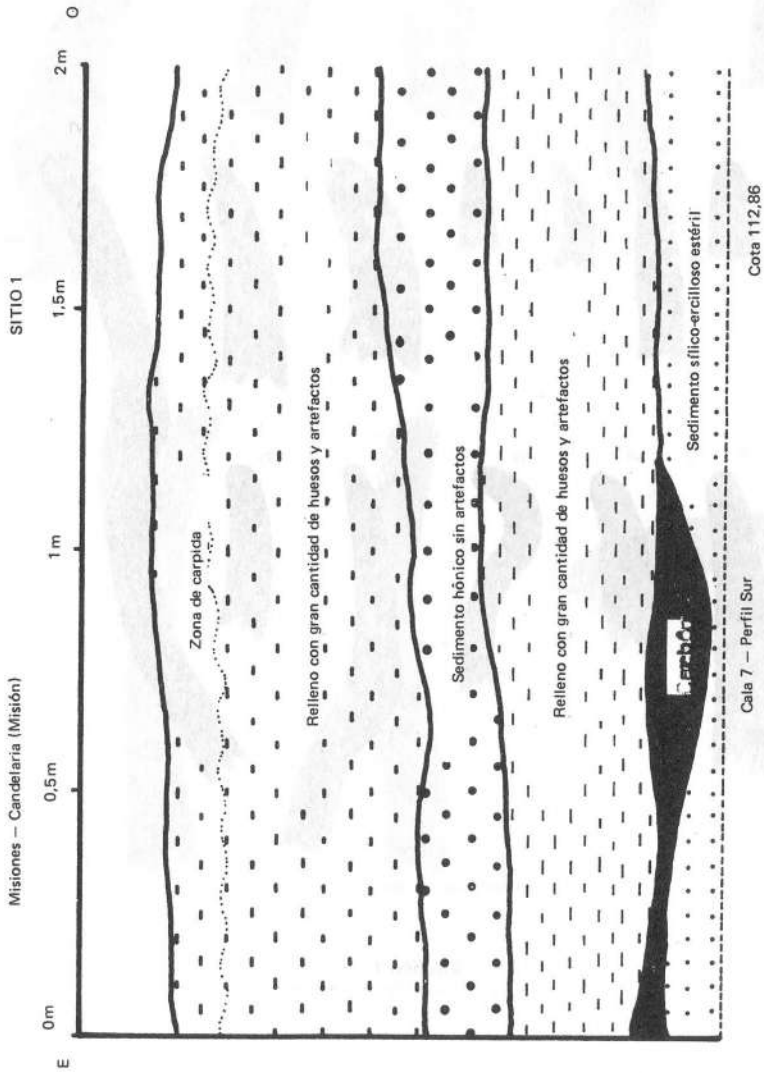


Figura 6



Hispano-indígena Cepillada

Gráfico 1



Hispano-indígena Roja

Gráfico 2

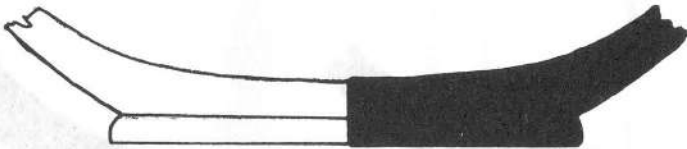
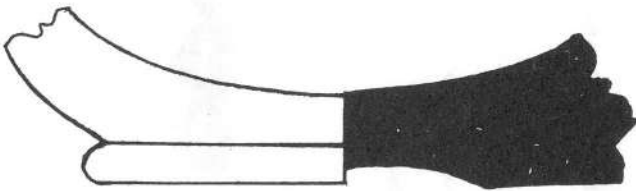
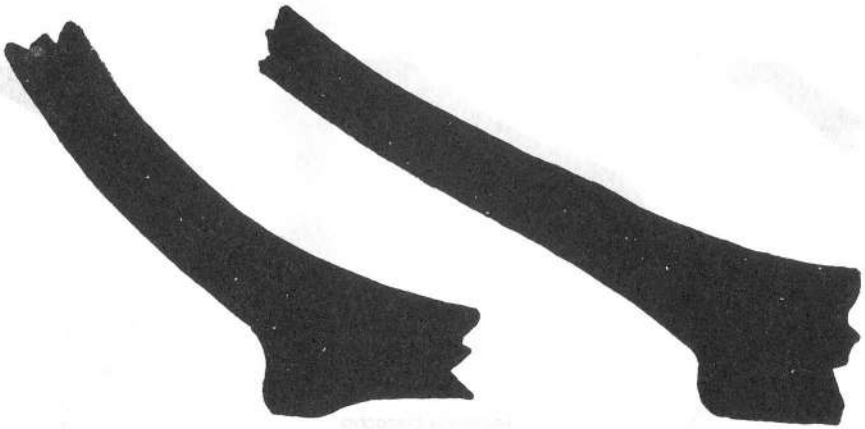


Misiones lisa

Gráfico 3

ESTUDIOS IBERO-AMERICANOS

1989

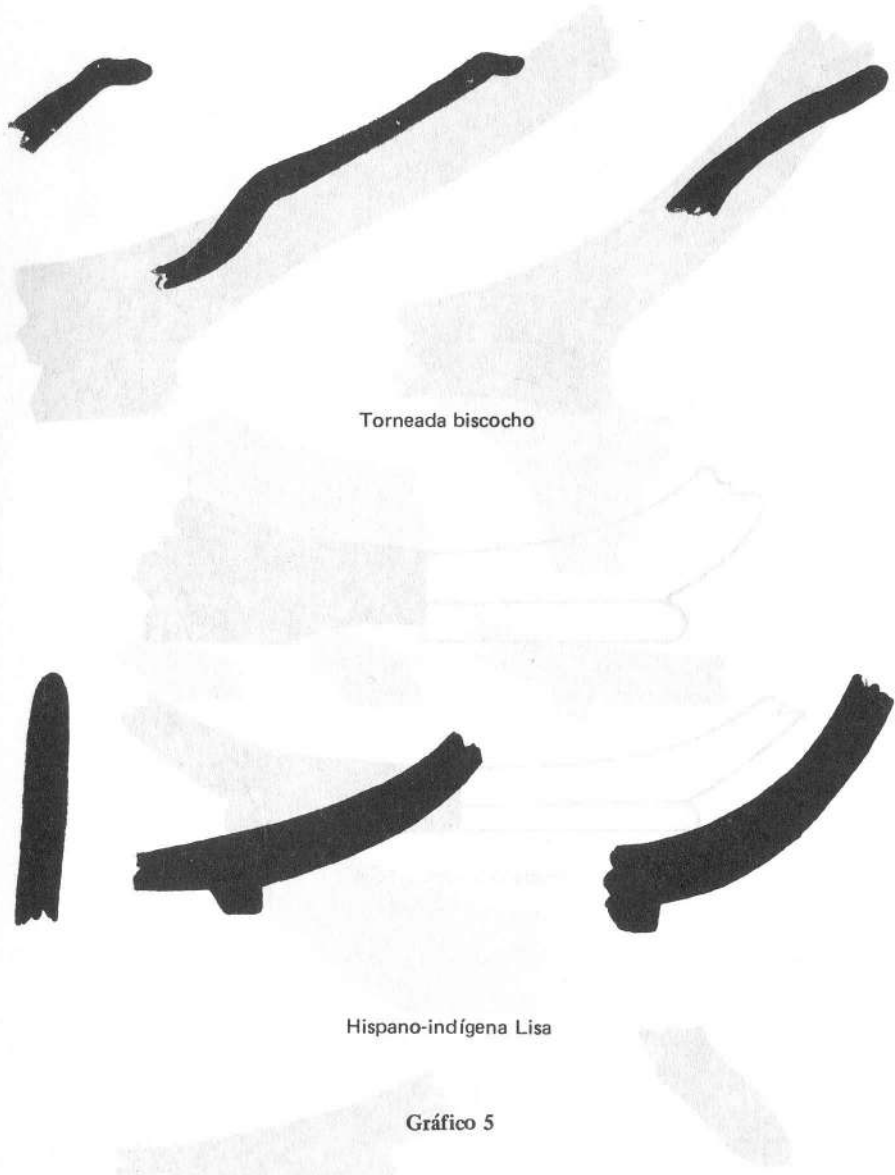


Hispano-indígena Roja



Torneada vidriada

Gráfico 4

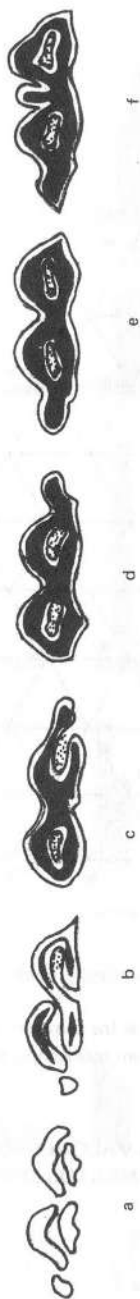


Torneada bischocho

Hispano-indígena Lisa

Gráfico 5

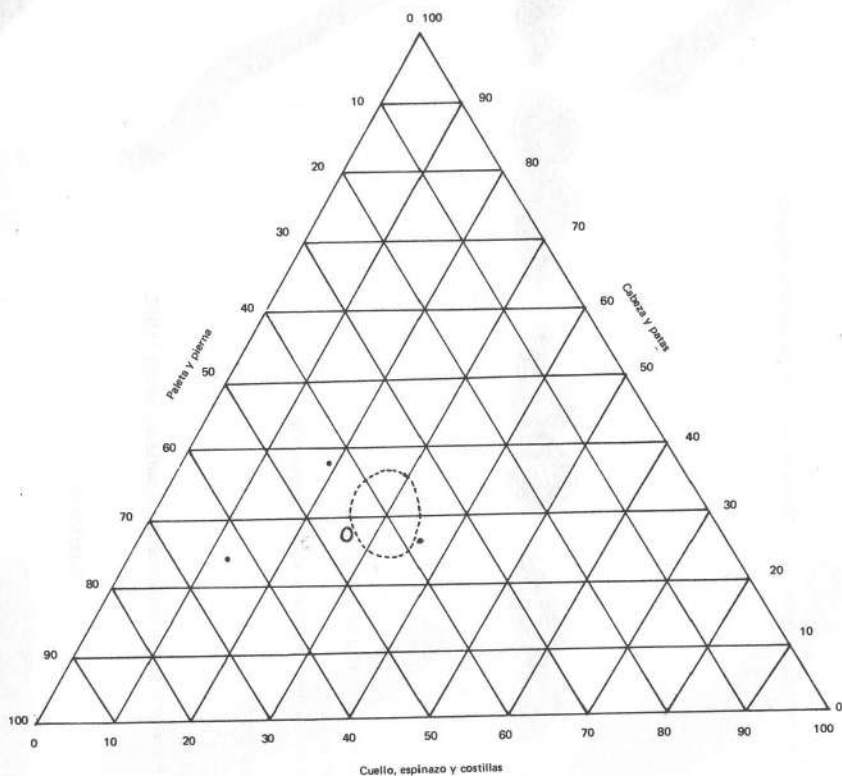
Estado de desgaste de los terceros molares de ganado vacuno



- a (511): M3 izq., erupción reciente.
- b(511): M3 izq., desgaste leve, no compromete a la 3ra. cóspide.
- c(51V): M3 der., 3ra. cóspide desgastada.
- d(51V): M3 der., desgaste más intenso, no compromete al pilar accesorio.
- e (511): M3 izq., idem anterior.
- f (5111): M3 izq., pilar accesorio desgastado.

Representación esquemática basada en Grant (1982).

Gráfico 6



A5II
B5III
C5IV



Los tres niveles, globalmente.

Posición de los esqueletos completos de referencia, Chillingham modernos, según Armitage (com. pers.)

GRÁFICO ISOMÉTRICO DE LOS VALORES PORCENTUALES
DE LOS TRES GRUPOS DE ELEMENTOS ESQUELETÁRIOS



Gráfico 8 -- Sondeos 6 y 7 comportamiento de tiestos por nivel estratigráfico.

TABLA I - Registro artefactual.

Cala 1

	<i>Tejas</i>	<i>Cerámica</i>	<i>Huesos</i>
Nível I	1733	45	-
Nível II	1222	26	3
Subtotal	2955	71	3

Cala 2

	<i>Tejas</i>	<i>Cerámica</i>	<i>Huesos</i>
Nível I	742	182	s/c
Nível II	772	35	s/c
Nível III	126	18	s/c
Subtotal	1640	235	-

Cala 3

	<i>Tejas</i>	<i>Cerámica</i>	<i>Clavos</i>	<i>Cuentas de Vidrio</i>
Nível I	1479	23	2	2
Nível II	616	32	-	-
Subtotal	2095	55	2	2

Cala 4

	<i>Tejas</i>	<i>Cerámica</i>	<i>Ladrillos</i>	<i>Tacurú</i>	<i>Clavos</i>	<i>Vidrio</i>
Nível I	2124	7	39	-	3	-
Nível II	843	1	49	13	7	4
Nível III	783	-	101	21	3	1
Subtotal	3750	8	189	34	13	5

Cala 5

	<i>Tejas</i>	<i>Cerámica</i>	<i>Ladrillos</i>	<i>Clavos</i>	<i>Huesos</i>
Nível I	6019	163	5	1	s/c
Nível II	1111	204	-	-	s/c
Nível III	1322	95	-	-	s/c
Nível IV	412	s/c	-	-	s/c
Subtotal	8864	462	5	1	-

NOTA: A la fecha, no se ha concluido la revisión preliminar de algunas de las unidades, lo que impide presentar totales. El material óseo de Cala 5, casi en su totalidad de ganado vacuno, es muy abundante.

TABLA 2 – Frecuencias relativas de los diferentes tipos cerámicos por nivel estratigráfico.

Cala 1

Nivel	I		II		Total
	n	%	n	%	
Hisp. Ind. Cepillada	—	—	2	4.9	2
Hisp. Ind. Roja	41	95.3	33	80.5	74
Hisp. Ind. Unguiculada	1	2.35	2	4.9	3
Hisp. Ind. Corrugada	—	—	—	—	—
Hisp. Ind. Mamelonar	—	—	—	—	—
Hisp. Ind. Lisa	—	—	—	—	—
Torneada Biscocho	1	2.35	—	—	1
Torneada Vidriada	—	—	—	—	—
Misiones Lisa	—	—	4	9.7	4
Sin Clasificar	—	—	—	—	—
TOTAL	43		41		84

TABLA 3 – Frecuencias relativas de los diferentes tipos cerámicos por nivel estratigráfico.

Cala 2

<i>Nivel</i>	<i>I</i>		<i>II</i>		<i>III</i>		<i>Total</i>
	<i>n</i>	<i>%</i>	<i>n</i>	<i>%</i>	<i>n</i>	<i>%</i>	
Hisp. Ind. Cepillada	46	31.7	25	23.1	2	15.3	73
Hisp. Ind. Roja	70	48.3	43	40	9	69.3	122
Hisp. Ind. Unguiculada	–	–	3	2.8	–	–	3
Hisp. Ind. Corrugada	–	–	5	4.6	1	7.7	6
Hisp. Ind. Mamelonar	–	–	–	–	–	–	–
Hisp. Ind. Lisa	17	11.7	25	23.1	–	–	42
Torneada Biscocho	6	4.1	5	4.6	–	–	11
Torneada Vidriada	3	2.1	2	1.8	–	–	5
Misiones Lisa	3	2.1	–	–	1	7.7	4
Sin clasificar	–	–	–	–	–	–	–
Total	145		108		13		266

TABLA 4

Frecuencias relativas de los diferentes tipos cerámicos por nivel estratigráfico.

Cala 3

Nivel	I		II		Total
	n	%	n	%	
Hisp. Ind. Capillada	14	73.7	—	—	14
Hisp. Ind. Roja	3	15.8	18	72	21
Hisp. Ind. Unguiculada	—	—	1	4	1
Hisp. Ind. Corrugada	—	—	3	12	3
Hisp. Ind. Mamelonar	—	—	—	—	—
Hisp. Ind. Lisa	2	10.5	1	4	3
Torneada Biscocho	—	—	—	—	—
Torneada Vidriada	—	—	—	—	—
Misiones Lisa	—	—	2	8	2
Sin clasificar	—	—	—	—	—
Total	19	—	25	—	44

TABLA 5

Frecuencias relativas de los diferentes tipos cerámicos por nivel estratigráfico.

Cala 4

<i>Nivel</i>	<i>I</i>		<i>II</i>		<i>Total</i>
	<i>n</i>	%	<i>n</i>	%	
Hisp. Ind. Cepillada	2	16.7	—	—	2
Hisp. Ind. Roja	5	41.7	—	—	5
Hisp. Ind. Unguiculada	1	8.3	—	—	1
Hisp. Ind. Corrugada	—	—	1	100	1
Hisp. Ind. Mamelonar	2	16.7	—	—	2
Hisp. Ind. Lisa	—	—	—	—	—
Torneada Biscocho	—	—	—	—	—
Torneada Vidriada	1	8.3	—	—	1
Misiones Lisa	1	8.3	—	—	1
Sin clasificar	—	—	—	—	—
Total	12	—	1	—	13

TABLA 6
Frecuencias relativas de los diferentes tipos cerámicos por nivel estratigráfico.

Cala 5	Nivel	I		II		III		IV		Total
		n	%	n	%	n	%	n	%	
	Hisp. Ind. Cepillada	83	44.1	175	63.7	100	37	111	23.1	469
	Hisp. Ind. Roja	43	22.7	53	19.3	97	35.8	252	52.4	445
	Hisp. Ind. Unguiculada	-	-	-	-	-	-	1	0.2	1
	Hisp. Ind. Corrugada	-	-	-	-	-	-	1	0.2	1
	Hisp. Ind. Mamelonar	-	-	4	1.4	5	1.8	-	-	9
	Hisp. Ind. Lisa	43	22.7	-	-	13	4.8	63	13.1	119
	Torneada Bizcocho	15	7.9	9	3.3	11	4	16	3.3	51
	Torneado Vidriada	5	2.6	16	5.8	3	1.1	9	1.9	33
	Misiones Lisa	-	-	3	1.1	10	3.7	-	-	13
	Sin clasificar	-	-	15	5.4	32	11.8	28	5.8	75
	Total	189	-	275	-	271	-	481	-	1216

TABLA 7
Frecuencias relativas de los diferentes tipos por cala.

Cala	1		2		3		4		5		Total
	n	%	n	%	n	%	n	%	n	%	
Hisp. Ind. Cepillada	2	2.4	73	27.4	14	31.9	2	15.4	469	38.6	560
Hisp. Ind. Roja	74	88.1	122	46	21	47.7	5	38.5	445	36.6	667
Hisp. Ind. Unguiculada	3	3.6	3	1.1	1	2.3	1	7.7	1	0.05	9
Hisp. Ind. Corrugada	-	-	6	2.2	3	6.8	1	7.7	1	0.05	11
Hisp. Ind. Mamelonar	-	-	-	-	-	-	2	15.4	9	0.7	11
Hisp. Ind. Lisa	-	-	42	15.8	3	6.8	-	-	119	9.8	164
Torneada Bizcocho	1	1.1	11	4.1	-	-	-	-	51	4.2	63
Torneada Vidriada	-	-	5	1.9	-	-	1	7.7	33	2.7	39
Misiones Lisa	4	4.8	4	1.5	2	4.5	1	7.6	13	1.1	24
Sin clasificar	-	-	-	-	-	-	-	-	75	6.2	75
Total	84	-	266	-	44	-	13	-	1216	-	1623

TABLA 8
Cuantificación de la cerámica.

	6 I		6 II		6 III		6 IV		6 V		Total
	n	%	n	%	n	%	n	%	n	%	
Cepillada	96 (17)	67.6	160 (10)	50.6	50 (5)	27.8	53 (2)	23.3	7 (1)	7.1	366
Roja	17 (1)	12	80 (12)	25.3	82	45.6	85 (3)	37.5	59 (4)	60.2	323
Corrugada	-	-	5	1.6	-	-	-	-	9 (2)	9.2	14
Estriada	-	-	-	-	-	-	14	6.2	2	2	16
Unguiculada	-	-	1	0.3	-	-	-	-	-	-	1
Lisa pulida	-	-	19	6	13 (5)	7.2	15	6.6	3	3.1	50
Lisa s/ pulir	-	-	-	-	-	-	-	-	-	-	-
Dec. mixta	-	-	-	-	-	-	26	11.5	18	18.4	44
Torneada	13 (4)	9.2	17	5.4	8	4.4	1	0.5	-	-	39
Vidriada	5	3.5	3	1	5 (1)	2.8	3	1.3	-	-	16
Microtostios s/ identif.	11	7.7	31	9.8	22	12.2	30	13.2	-	-	94
Total	142	-	316	-	180	-	227	-	98	-	963

NOTA: Entre paréntesis, aparece el número de bordes.

TABLA 9
Cuentificación de la cerámica.

Cala 7

	7 I		7 II		7 III		7 IV		7 V		Total
	n	%	n	%	n	%	n	%	n	%	
Cepillado	46 (2)	27	37 (4)	43.5	2	6.9	10	4.9	1	2.9	96
Roja	37 (11)	21.8	23 (3)	27	19 (2)	65.6	69 (12)	34	10	28.6	158
Corrugada	-	-	-	-	1	3.4	70 (9)	34.5	16 (3)	45.7	87
Estriada	1	0.6	-	-	-	-	3	1.5	-	-	4
Ungulculada	-	-	2	2.3	2	6.9	-	-	-	-	4
Lisa pulida	-	-	-	-	-	-	6	3	4	11.4	10
Lisa s/ pulir	10	5.9	12	14.1	-	-	4	2	-	-	26
Dec. mixta	-	-	-	-	-	-	-	-	-	-	-
Torneada	40 (2)	23.5	2 (1)	2.3	-	-	1 (1)	0.5	-	-	43
Vidriada	4	2.4	-	-	-	-	2	1	-	-	6
Microfiestos s/ identif.	32	18.8	9	10.6	5	17.2	38	18.7	4	11.4	88
Total	170	-	85	-	29	-	203	-	35	-	522

NOTA: Entre paréntesis, figura el número de bordes.

TABLA 10

Cuantificación de los elementos óseos de *Bos taurus* por nivel estratigráfico.

Nivel	I ^a	II	III	IV	Total
Cráneo	—	1	15	21	37
Mandíbula	(9)	7	10	33	50
Dientes	(19)	10	4	23	37
Escápula	(1)	6	9	14	29
Radio	(5)	6	1	3	10
Cúbito	—	—	5	4	9
Húmero	(5)	4	2	5	11
Pelvis	—	8	9	9	26
Fémur	(8)	10	2	5	17
Tibia	(4)	7	4	2	13
Rótula	—	—	2	—	2
Carpo	—	—	5	2	7
Tarso	(7)	4	6	11	21
Metacarpo	—	1	3	2	6
Metatarso	(4)	1	7	2	10
Metapodio	(2)	—	4	9	13
Falange 1ª	(3)	4	2	19	25
Falange 2ª	(6)	3	2	8	13
Falange 3ª	—	2	7	9	18
Vértebras	(2)	46	42	157	245
Costillas	—	15	15	114	144
Fragm. de Huesos larg.	(60)	36	25	92	153
Sin identificar	b	38	27	—	65
Total	—	209	208	544	916

- a) No se considera en los totales por su conservación precaria, lo cual lo hace no comparable.
- b) Por la misma razón, no es realista una determinada cantidad, por lo que una expresión en unidades de peso es preferible: 1.470 kg.

TABLA 11

Cálculo de NMI por elemento óseo y por unidad estratigráfica

Cala 5				
Nivel	II	III	IV	Total
Húmero	2	1	2	5
Radio	2	1	2	5
Cúbito	2	4	2	8
Fémur	2	1	2	5
Tibia	2	2	2	6
Metacarpo	1	2	1	4
Calcáneo	1	1	3	6
Astrágalo	1	1	3	5
T c+4	2	-	3	5
CR	-	-	2	2
Mandíbula	1	2	2	5
Escápula	3	4	4	11
Pelvis	3	6	3	12
Falanges	2	2	4	8

Cálculo de NMI por elemento óseo con la técnica de mínima distinción.

	NMI	
Húmero	4	(5)
Radio	5	(5)
Cúbito	7	(8)
Fémur	4	(5)
Tibia	3	(6)
Metacarpo	4	(4)
Metatarso	6	(6)
Calcáneo	4	(5)
Astrágalo	5	(5)
T c+4	4	(5)
CR	2	(2)
Mandíbula	4	(5)
Escápula	9	(11)
Pelvis	11	(12)
Falanges	5	(8)

NOTA: Entre paréntesis, los valores obtenidos por la suma de los NMI calculados por cada unidad estratigráfica.

TABLA 12 – Estado de fusión de las epífisis de los elementos óseos por nivel estratigráfico.

Cala 5

Nivel	II		III		IV		Edad de Fusión
	F	N	F	N	F	N	
Fémur der. P	–	–	–	1	–	1	3 1/2
Fémur izq. P	1	–	–	–	1	–	–
Fémur der. D	1	–	–	–	–	–	3 1/2-4
Tibia der. P	1	1	–	–	–	–	3 1/2-4
Tibia izq. P	1	–	–	1	–	–	–
Tibia der. D	–	–	1	1	1	–	2-2 1/2
Tibia izq. D	–	–	1	–	–	–	–
Húmero izq. P	–	–	1	–	2	2	3 1/2-4
Húmero der. D	2	–	–	–	–	–	1-1 1/2
Radio der. P	2	–	1	–	2	–	1-1 1/2
Radio izq. P	2	–	–	–	1	–	–
Radio der. D	1	–	–	–	–	–	3 1/2-4
Calcáneo izq.	–	–	–	1	–	2	3
Calcáneo der.	–	1	–	–	1	1	–
Metapodio D	4	–	3	1	5	3	2-3
Falange 1ª P	–	–	–	–	–	1	1 1/2

P: proximal

D: distal

F: fusionada

N: sin fusionar

NOTA: Los datos sobre las edades de fusión han sido tomados de Silver (1963), en Grigson (1982: 22).